



丛代数一瞥



Remark 本文仅草率地引入若干例子, 以介绍丛代数中的初等议题. 例如以下例子

Example 0.1 考虑序列 $\{x_n\}_{n \in \mathbb{Z}_{\geq 0}}$, 其中

- $x_0 = x_1 = x_2 = x_3 = 1$;
- $x_{n+4} = \frac{x_{n+1}x_{n+3} + x_{n+2}^2}{x_n} (n \in \mathbb{Z}_{\geq 0}).$

序列 $\{x_n\}_{n \in \mathbb{Z}_{\geq 0}}$ 被称为 Simos-4 序列, 其前几项为

1, 1, 1, 1, 2, 3, 7, 23, 59, 314, 1529, 8209, 83313, 620297, 7869898, ...

Theorem 0.2 我们观察到 Simos-4 序列为正整数序列. 证明从略.

Frieze 铺砌

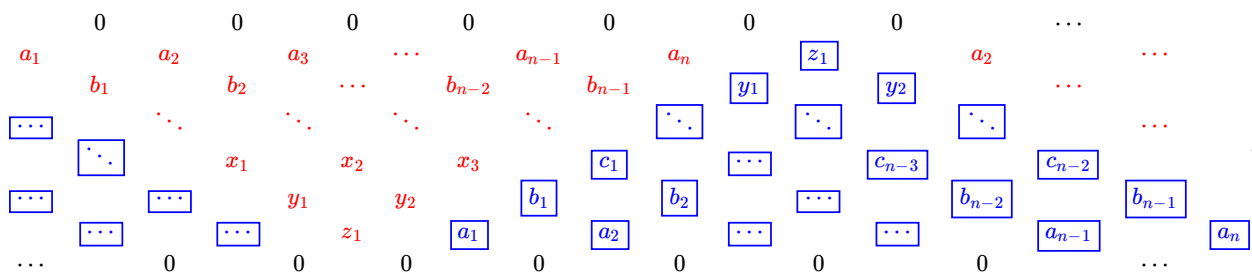
Quivers

矩阵表示

丛的 Laurant 现象

Frieze 铺砌

Definition 1.1 定义 n 阶 Frieze 铺砌为以下 $n + 1$ 横行组成的周期数组,



其中

- 首末两行为 0, 次首末两行为 1, 即 $a_1 = a_2 = \dots = a_n = z_1 = 1$;
- 除首末两行, 一切元素为正整数;
- 蓝色(框内)三角形的第 k 行与红色(未框出)三角形的第 $n + 1 - k$ 行相等;

- 任一 2×2 的 \diamond 形数阵等同于 $\mathfrak{sl}_2(\mathbb{Z})$ 中的某一元素, 即

$$\forall \begin{array}{|c|} \hline \begin{array}{cc} & b \\ a & \\ & d \\ & c \end{array} \\ \hline \end{array}, \det \begin{pmatrix} a & b \\ c & d \end{pmatrix} = 1.$$

Example 1.2 以下为某一 7 阶 Frieze 铺砌

$$\begin{array}{cccccccccccccccc} 0 & & 0 & & 0 & & 0 & & 0 & & 0 & & 0 & & 0 & & 0 \\ & \boxed{1} & & 1 & & 1 & & 1 & & 1 & & 1 & & 1 & & 1 & & 1 \\ \boxed{1} & & 2 & & 2 & & 3 & & 1 & & 2 & & 4 & & 1 & & 2 & & 2 & & 3 & & 1 \\ & \boxed{1} & & 3 & & 5 & & 2 & & 1 & & 7 & & 3 & & 1 & & 3 & & 5 & & 2 \\ 2 & & \boxed{1} & & 7 & & 3 & & 1 & & 3 & & 5 & & 2 & & 1 & & 7 & & 3 & & 1 \\ & \boxed{1} & & 2 & & 4 & & 1 & & 2 & & 2 & & 3 & & 1 & & 2 & & 4 & & 1 \\ 1 & & \boxed{1} & & 1 & & 1 & & 1 & & 1 & & 1 & & 1 & & 1 & & 1 & & 1 & & 1 \\ & 0 & & 0 & & 0 & & 0 & & 0 & & 0 & & 0 & & 0 & & 0 & & 0 & & 0 \end{array}.$$

Definition 1.3 称 Frieze 铺砌含有丛, 若且仅若次首与次末行被若干 1 相连. 例如 **Example 1.4** 所表示的 Frieze 铺砌包含丛(连接次首末两行的某些 1 被框出).

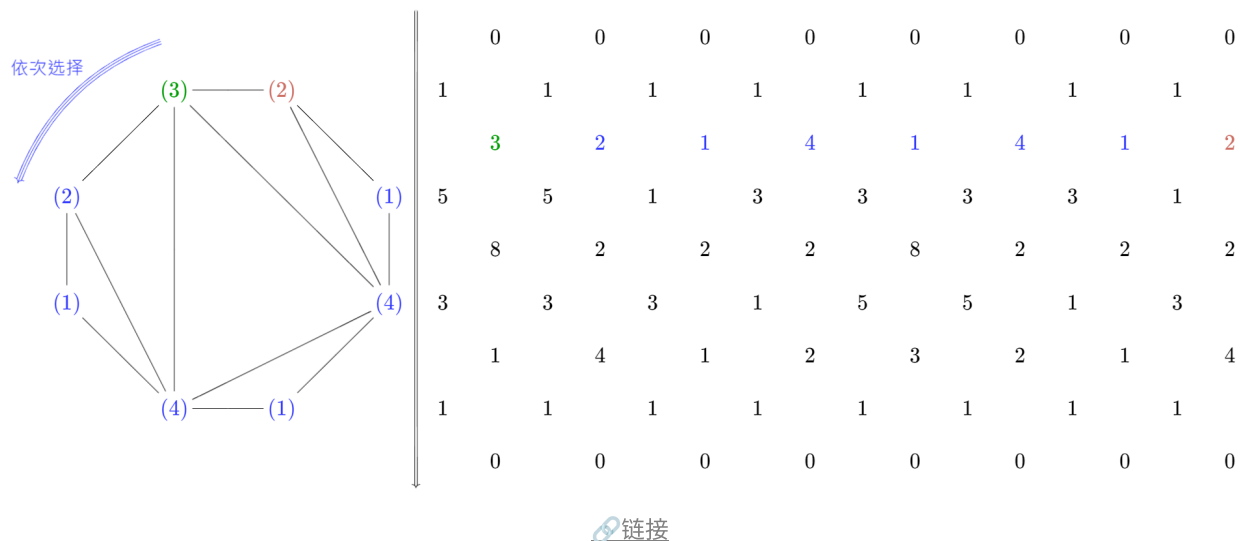
Example 1.4 实际上, 我们可以求出 n 阶 Frieze 铺砌的所有形式. 如 $n = 5$ 时待定系数如下

$$\begin{array}{cccccccc} 0 & & 0 & & 0 & & 0 & & 0 \\ & 1 & & 1 & & 1 & & 1 & & 1 \\ a & & \frac{b+1}{a} & & \frac{a+1}{b} & & b & & \frac{a+b+1}{ab} & & a \\ & b & & \frac{a+b+1}{ab} & & a & & \frac{b+1}{a} & & \frac{a+1}{b} \\ 1 & & 1 & & 1 & & 1 & & 1 & & 1 \\ & 0 & & 0 & & 0 & & 0 & & 0 \end{array}.$$

注意到构成 cluster 若且仅若 $\frac{b+1}{a}$ 与 $\frac{a+1}{b}$ 均为整数, 从而解得

$$(a, b) = \{(1, 1), (1, 2), (2, 1), (2, 3), (3, 2)\}.$$

Theorem 1.5 n 阶 Frieze 铺砌的第三行同构于正 n 边形三角化后个顶点处三角形数量之总和之排列.

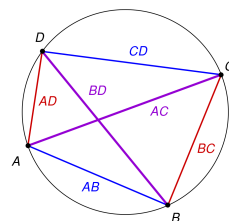


证明见[此处](#).

Theorem 1.6 正 m 边形两两不同的三角化方法数为 $\frac{1}{m-1} \binom{2m-4}{m-2}$.

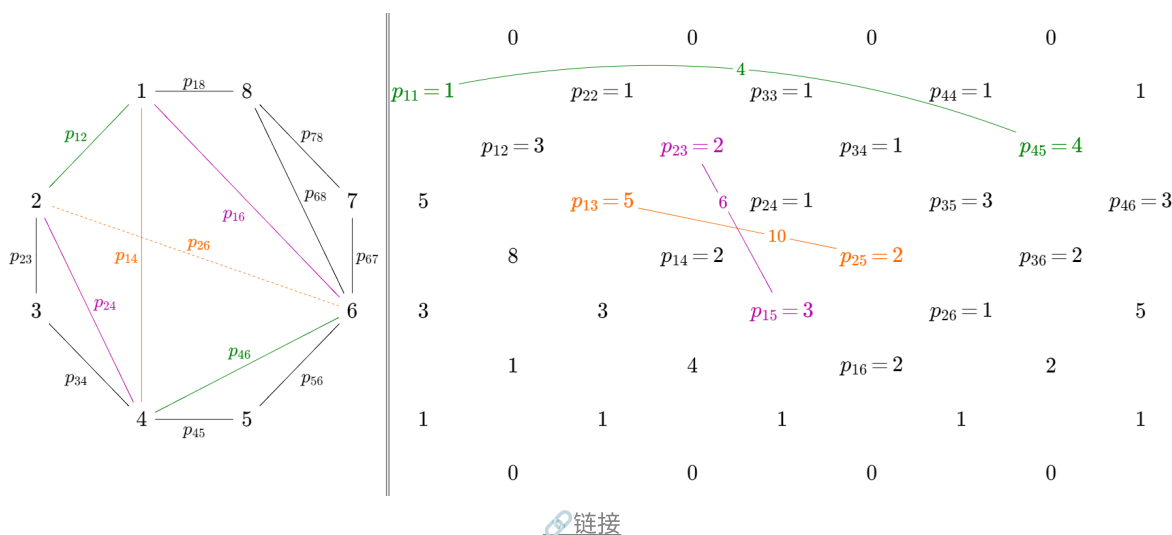
Theorem 1.7 (Ptolemy) 右图系圆内接四边形, 则

$$|AD| \cdot |BC| + |AB| \cdot |CD| = |AC| \cdot |BD|.$$



此处 $|AD|$ 即通常意义下的边长. 证明见任意一本平面几何教程.

Theorem 1.8 Frieze 铺砌满足 Ptolemy 对应, 例如下图中 $p_{12}p_{46} + p_{16}p_{24} = p_{14}p_{26}$.



Example 1.9 无穷维 Frieze 铺砌暂不在讨论之列, 例如

$$\begin{array}{cccccccccccccccc}
 0 & 0 & 0 & 0 & 0 & 0 & 0 & 0 & 0 & 0 & 0 & 0 & 0 & 0 \\
 & 1 & & 1 & & 1 & & 1 & & 1 & & 1 & & 1 \\
 2 & & 2 & & 2 & & 2 & & 2 & & 2 & & 2 & & 2 \\
 & 3 & & 3 & & 3 & & 3 & & 3 & & 3 & & 3 \\
 4 & & 4 & & 4 & & 4 & & 4 & & 4 & & 4 & & 4 \\
 & 5 & & 5 & & 5 & & 5 & & 5 & & 5 & & 5 \\
 \vdots & & \vdots & & \vdots & & \vdots & & \vdots & & \vdots & & \vdots & & \vdots
 \end{array}$$

Definition 1.10 Grassmann 空间 $\text{Gr}_{k,m}(\mathbb{R})$ 为 \mathbb{R}^m 中 k 维子空间之集, 即商空间

$$\{A \in \mathbb{R}^{m \times k} \mid \text{rank}(A) = k\} / \text{初等(纵)列变换}.$$

特别地, 可取代表元

$$\begin{pmatrix}
 1 & & & & \\
 & 1 & & & \\
 & & \ddots & & \\
 & & & 1 & \\
 a_{1,1} & \cdots & \cdots & a_{1,k} & \\
 \vdots & & & \vdots & \\
 a_{n-k,1} & \cdots & \cdots & a_{n-k,k} &
 \end{pmatrix}.$$

从而可见同构 $\text{Gr}_{k,m}(\mathbb{R}) \cong \text{Gr}_{(m-k),m}(\mathbb{R})$.

Example 1.11 定义子空间 $\text{Gr}_{2,m}^+(\mathbb{R}) \subseteq \text{Gr}_{2,m}(\mathbb{R})$, 其中任意 $A \in \text{Gr}_{2,m}^+(\mathbb{R})$ 的一切 2×2 子式行列式值均为正. 实际上, 判断 A 恒正与否所需的最少行列式值为 $2n - 3$. 对任意 $\begin{pmatrix} a_1 & a_2 & a_3 & a_4 \\ b_1 & b_2 & b_3 & b_4 \end{pmatrix}$, 记 $p_{ij} = \det \begin{pmatrix} a_i & a_j \\ b_i & b_j \end{pmatrix}$, 则有关系

$$p_{ik}p_{jl} = p_{ij}p_{kl} + p_{il}p_{jk} \quad (1 \leq i < j < k < l \leq m).$$

对照 **Theorem 1.8**, 计算 A 的所有 2×2 子式的行列式值仅需所有边(n 条)与三角化给出的对角线($n - 3$ 条)即可.

Definition 1.12 **Example 1.11** 中给出 $\text{Gr}_{2,m}(\mathbb{R})$ 的一种恒正条件. 先定义 $\mathfrak{sl}_n(\mathbb{R})$ 上的旗恒正条件如下, 记 $J = \{i_1, \dots, i_k\} \subseteq \{1, \dots, n\}$, 则 $A \in \mathfrak{sl}_n(\mathbb{R})$ 旗恒正若且仅若一切

$$\det \begin{pmatrix}
 a_{1,i_1} & a_{1,i_2} & \cdots & a_{k,i_k} \\
 a_{2,i_1} & a_{2,i_2} & \cdots & a_{k,i_k} \\
 \vdots & \vdots & \ddots & \vdots \\
 a_{k,i_1} & a_{k,i_2} & \cdots & a_{k,i_k}
 \end{pmatrix} > 0.$$

其中 $1 \leq k \leq n$, 不妨假定 $i_1 < i_2 < \cdots < i_k$.

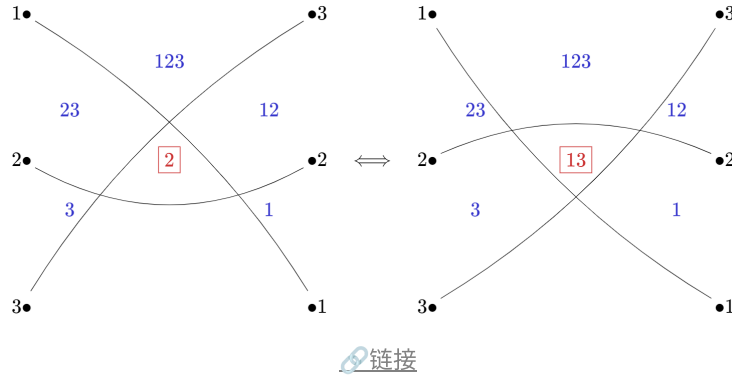


Remark 可以注意到, $(\det(a_{t,i_t}) \mid 1 \leq k \leq n, J \subseteq \{1, \dots, n\})$ 在左乘 1-对角下三角矩阵下不变. 该性质可以联系 Lie 群半单表示.

Remark 称之为旗恒正, 是因为对 $J_1 \subsetneq J_2 \subsetneq \cdots$, 限制在 $\{1, 2, \dots, |J_k|\} \times J_k$ 上的子矩阵之列向量空间如旗帜般包含, 如

$$\text{span}\{1 \text{ 维的升旗台(点)}\} \subsetneq \text{span}\{1 \text{ 维旗杆}\} \subsetneq \text{span}\{2 \text{ 维旗面}\} \subsetneq \cdots.$$

Example 1.13 我们希望寻找刻画旗恒正关系的最少子矩阵数. 实际上, 观察变换



图中,

- 任意一张图左右两侧的黑点分别为 $\{1, \dots, n\}$ 的正序与倒序;
- 任意两条线有且仅有一个交点;
- 不存在交于一点的三条直线.

记 p_J 为 $\det(a_{k,i_l})_{1 \leq k, l \leq |J|}$, 则有关系 $p_{\{1,3\}}p_{\{2\}} = p_{\{1,2\}}p_{\{3\}} + p_{\{2,3\}}p_{\{1\}}$. 从而旗恒正关系所需的最少子矩阵恰好等同于图中区域数量, 即 $\frac{1}{2}(n-1)(n+2)$.

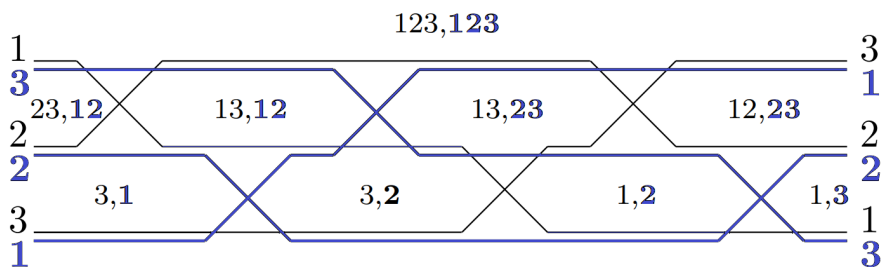
Theorem 1.14 (Muir) 若矩阵的某些子式(方阵)的行列式满足某些齐次恒等关系(如 $p_{\{1,3\}}p_{\{2\}} = p_{\{1,2\}}p_{\{3\}} + p_{\{2,3\}}p_{\{1\}}$), 则对于嵌入

$$\iota : U \hookrightarrow \tilde{U}, A \mapsto \begin{pmatrix} A & * \\ * & *_{R \times C} \end{pmatrix},$$

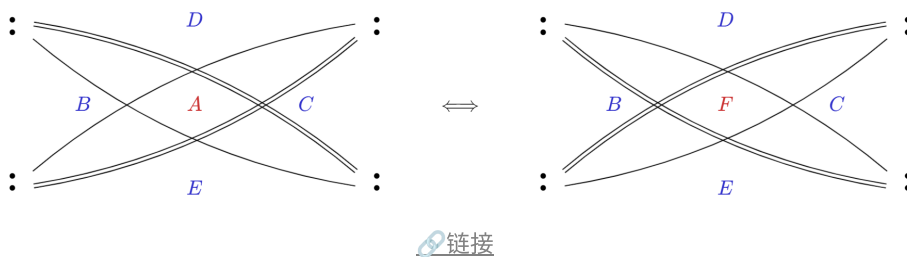
相应的恒等式在嵌入的空间中仍成立, 其中 $p_{I,J} \mapsto p_{I \cup R, J \cup C}$. 例如 $\mathfrak{sl}_4(\mathbb{R})$ 中

$$p_{\{1,3,4\}}p_{\{2,4\}} = p_{\{1,2,4\}}p_{\{3,4\}} + p_{\{2,3,4\}}p_{\{1,4\}}.$$

Example 1.15 将旗恒正关系推广至一般情形, 即判断 $A \in \mathfrak{gl}_n(\mathbb{R})$ 的子式行列式值($\sum_{i=1}^3 \binom{3}{i}^2 = 19$ 种)恒正所需的最少子式行列式值. 类比 **Example 1.13**, 考虑双写图表



对应的子式有 9 个. 相应的自然变换另有下图(其中, $AF = DE + BC$).



Quivers

Definiton 2.1 丛代数中的 quiver 为有向图, 其中

- 允许多重边;
- 不允许出现边数为 1 或 2 的定向环;
- 顶点分为**固定的**与**可迁的**两类.
- 在运动中, 固定点间的连边被保留, 即一切活动在所有可迁点及其箭头上进行.

Definition 2.2 固定 quiver 内的可迁顶点 k , 定义 k 处的运动 μ_k 包含以下四步:

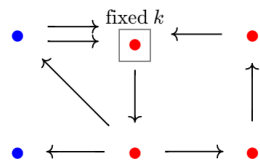
Step I. 右图即为 quiver, 左侧两个蓝色点固定, 右侧四个红色点可迁.

Step II. 若存在长度为 2 的道路 $i \rightarrow \boxed{k} \rightarrow j$, 则添边 $i \rightarrow j$. 此时暂不考虑有无既有的连边 $i \rightarrow j$.

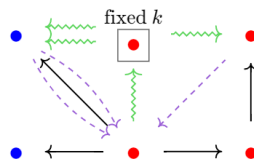
特别地, 当 i 与 j 均不是可迁的, 则不进行任何操作!

Step III. 将 k 点处所有箭头反向, 如 $i \rightarrow k$ (resp. $k \rightarrow j$) 变更为 $k \rightarrow i$ (resp. $j \rightarrow k$).

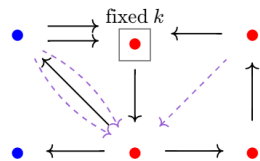
Step IV. 约去边数为 2 的定向圈, 即逐一约化 $i \rightleftharpoons j$ 为 $i \rightarrow j$.



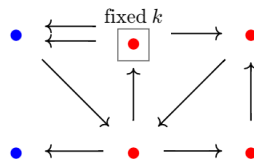
I



III



II



IV

[链接](#)

Theorem 2.3 $\mu_k^2 = \text{Id}$ 对一切(可迁的) k 成立. 对不相连的 i 与 j , 有对易关系 $\mu_i \mu_j = \mu_j \mu_i$.

Definition 2.4 参照 **Definition 3.2**, 定义 quiver 上的

丛 \longleftrightarrow {丛变量},
 广丛 \longleftrightarrow {丛变量, 常量};
 常量 \longleftrightarrow • 固定点,
 丛变量 \longleftrightarrow • 可迁点.



Remark 对上述许多变换均可建立广丛, 例如以下几个例子.

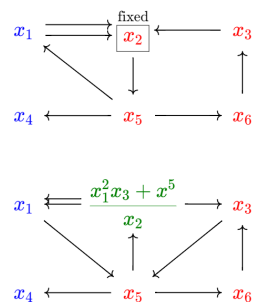
Example 2.5 定义变换如下

$$\mu_k : (Q, x) \mapsto (Q', x');$$

$$Q' = \mu_k(Q),$$

$$x' = (x \setminus \{x_k\}) \cup \{x'_k\},$$

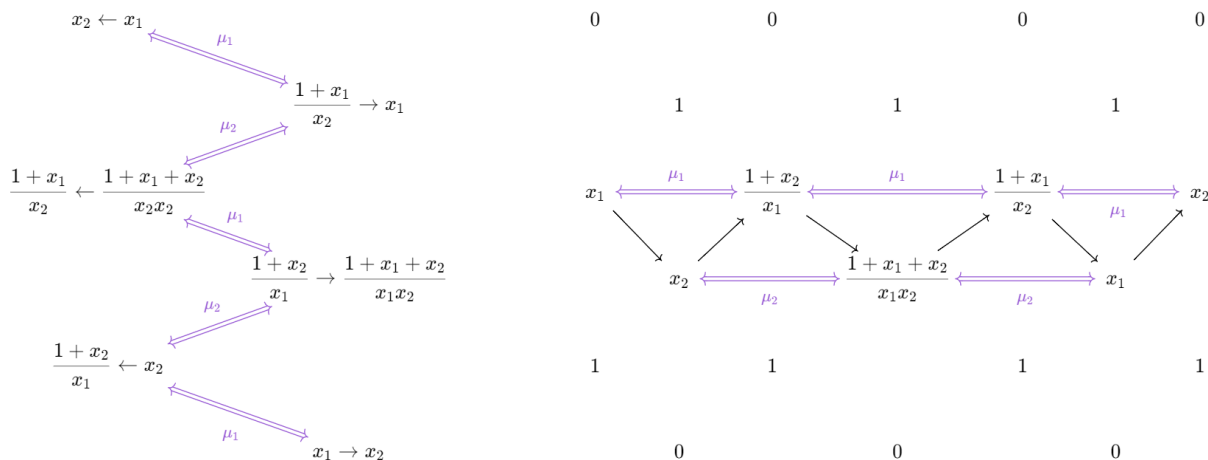
$$x'_k := \frac{\prod_{j \leftarrow k} x_j + \prod_{i \rightarrow k} x_i}{x_k}.$$



[链接](#)

从而生成若干 Laurent 多项式.

特别地, Quiver $1 \rightarrow 2$ 中所有顶点可迁, 则有如下变换



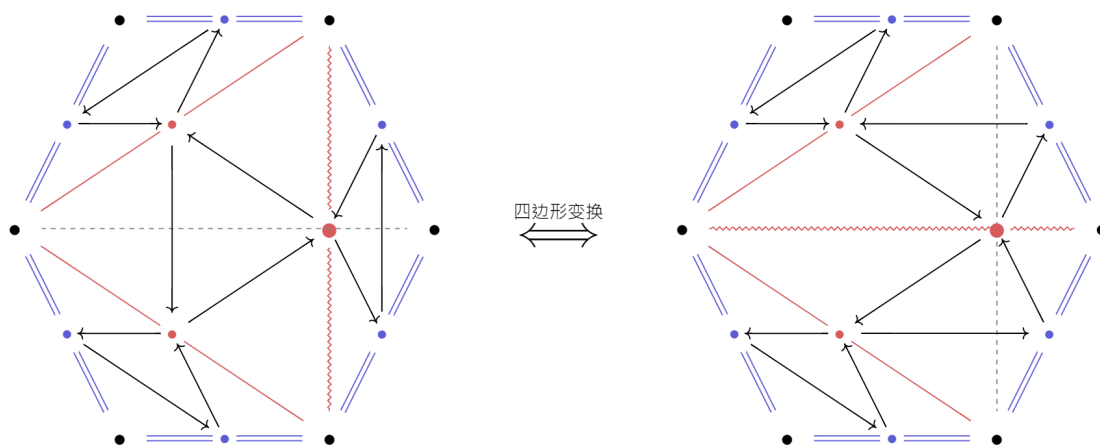
[link](#)

此处, 丛代数 $A(1 \rightarrow 2)$ 即二元有理式环 $\mathbb{C}(x_1, x_2) := \text{frac}(\mathbb{C}[x_1, x_2])$ 的子环, 生成元为

$$\chi = \left\{ x_1, x_2, \frac{1+x_1}{x_2}, \frac{1+x_2}{x_1}, \frac{1+x_1+x_2}{x_1 x_2} \right\}.$$

一般地, 丛代数定义为多项式环 $\mathbb{C}[\chi, x_{n+1}, \dots, x_m]$. 其中 χ 为可迁点在有限步运动下可能生成的所有 Laurant 多项式, $\{x_{n+1}, \dots, x_m\}$ 为固定点.

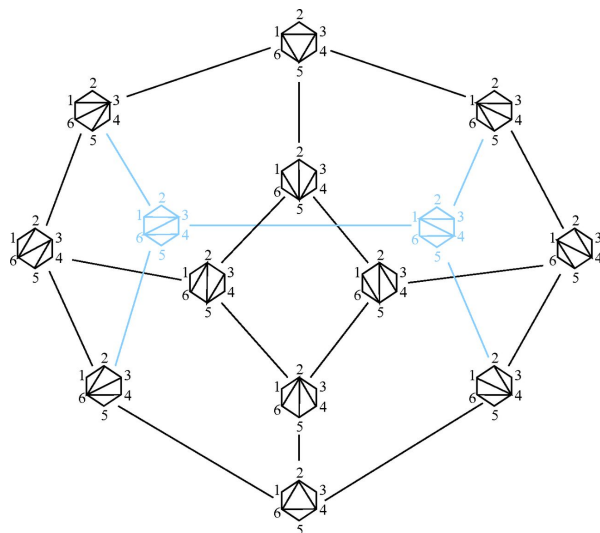
Example 2.6 正多边形三角剖分间的转化关系如下, 其中丛变量为对角线, 常量为多边形的边,



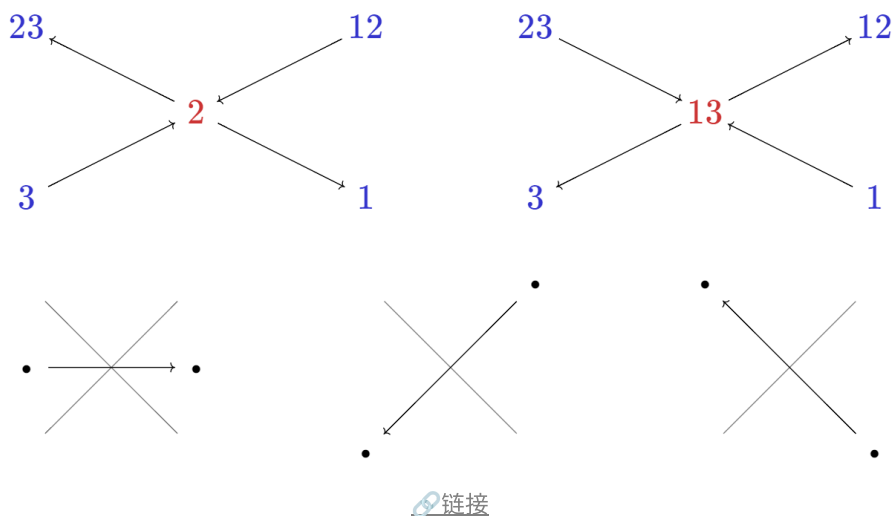
[链接](#)

其中任意三角形中的小三角统一呈逆时针相接, 任意变量处的箭头”两进两出, 方向相对”.

以下是对六边形间三角化的转化关系(区分顶点), 边表示一次运动(由于运动变换对合, 故图无向).



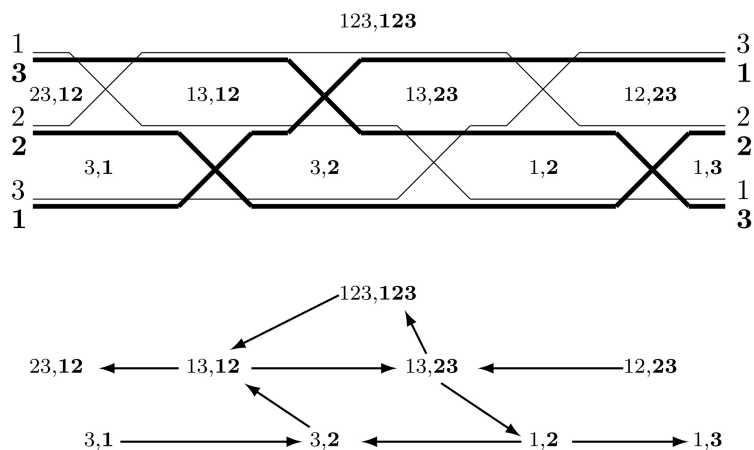
Example 2.7 **Example 1.13** 中的变换可表示如下, 其中下行表示连接规则.



对于 **Example 1.15** 中的双写, 可简化规则为如下. 称存在区域间的连边 $c \rightarrow c'$ 以下一者成立

$$\begin{array}{cccccc}
 c'Xc & L_{<c'>R}^c & L_{<c>R}^{c'} & \forall <c'>R & \forall <c>R \\
 & & & L_{<c>\forall} & L_{<c'>\forall} \\
 cXc' & L_{<c'>R}^{c'} & L_{<c>R}^c & L_{<c'>\forall} & L_{<c>\forall} \\
 & & & \forall <c>R & \forall <c'>R
 \end{array}$$

从而转化 **Example 1.15** 如下.



Definition 2.8 称 Q 与 Q' **运动等价**, 若他们能通过有限步运动相转化. 记等价类为 $[Q]$.

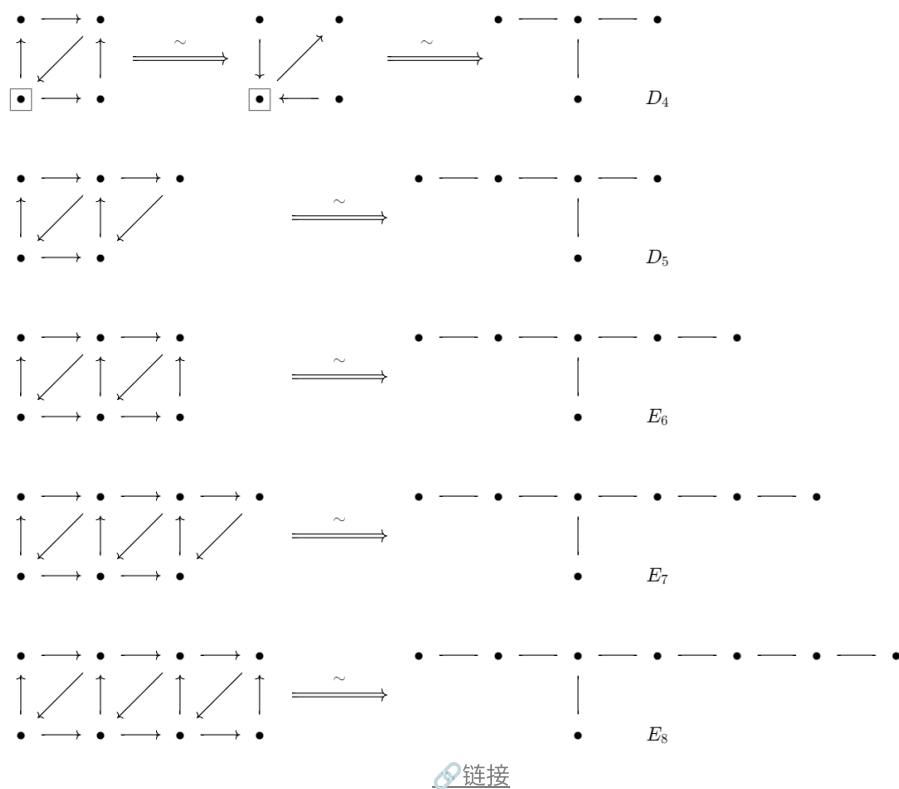
Definition 2.9 称 Q 与 Q' 由相同的**型**, 若他们在相差若干个固定点与固定边的意义下运动等价. 换言之, 他们的**可迁部分运动等价**.

Example 2.10 假定树上所有顶点可迁, 则可以通过源与汇处的运动实现所有定向图之间的转变.

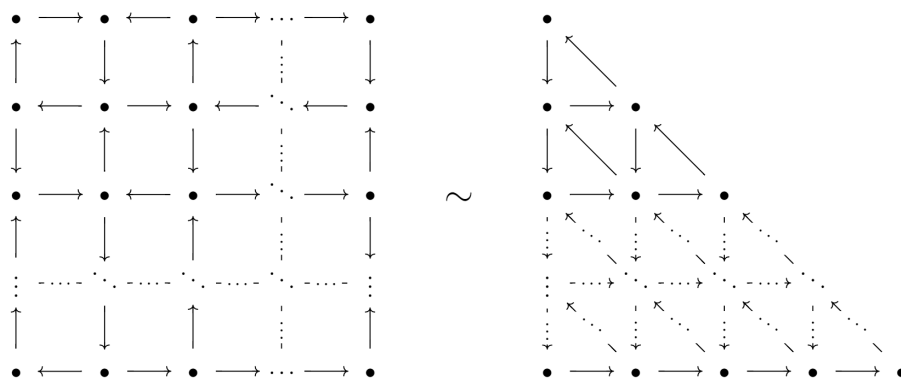


Remark 职是之故, 树即等价类.

Example 2.11 依照第一行, 类似得到格 quiver 与特殊 Dynkin 图间的转化关系.



类似地, 还有 $k \times (2k + 1)$ -型方格 quiver 与 $\binom{2k}{2}$ -型三角格 quiver 间的等价关系



矩阵表示

Definition 3.1 quiver Q 的矩阵表示为 $\tilde{B}(Q) := (b_{i,j})_{m \times n}$, 其中 $b_{i,j}$ 为 $i \rightarrow j$ 的连边数. 其中 m 行对应所有顶点, n 列对应可迁顶点. 记可迁顶点诱导的 n 阶子方阵为 $B(Q)$, 则 $B(Q)$ 反对称.

Proposition 3.2 μ_k 对应的矩阵变换为

$$b'_{ij} = \begin{cases} -b_{ij}, & (i = k) \vee (j = k); \\ b_{ij} + b_{ik}b_{kj}, & (b_{ik} > 0) \wedge (b_{jk} > 0); \\ b_{ij} - b_{ik}b_{kj}, & (b_{ik} < 0) \wedge (b_{jk} < 0); \\ b_{ij}, & \text{otherwise.} \end{cases}$$

Proposition 3.3 以下结论对 B 与 \tilde{B} 均成立: $\mu_k^2 = \text{Id}$, μ_k 和转置可易, μ_i 与 μ_j 可易即 $b_{ij} = 0$.

Definition 3.4 称 n 阶矩阵 B 为**可反对称化矩阵**, 若且仅若存在正整数 $\{1, \dots, d\}$ 使得 $d_i b_{ij} + d_j b_{ji} = 0$ 对一切 $1 \leq i, j \leq n$ 成立. 定义 B 的反对称化为 $S(B) = (\text{sgn}(b_{ij})\sqrt{|b_{ij}b_{ji}|})_{n \times n}$.

Proposition 3.5 S 与一切 μ_k 可对易.

Definiton 3.6 根据 **Proposition 3.5**, 定义

$$\Gamma : \text{可反对称化矩阵} \rightarrow \text{quivers}, B \mapsto (\text{sgn}(b_{ij}) \cdot |b_{ij}b_{ji}|)_{n \times n}.$$

$$\text{例如 } \Gamma \begin{pmatrix} 0 & 1 \\ -4 & 0 \end{pmatrix} = \Gamma \begin{pmatrix} 0 & 2 \\ -2 & 0 \end{pmatrix} = (i \begin{matrix} \longrightarrow \\ \longrightarrow \\ \longrightarrow \end{matrix} j).$$

Proposition 3.7 矩阵在运动中的不变量包括

- $\text{rank}(\tilde{B})$ 与 $\text{rank}(B)$ 在任意有限个 μ_k 的作用下不变;
- 任意可反对称化的矩阵在运动下行列式不变;
- B 中任意一横行(或纵列)中非零元的最大公约数在运动中不变.

丛的 Laurant 现象

Definition 4.1 对 $m \geq n$, 定义

- $\tilde{x} = (x_1, \dots, x_m)$ 为线性独立的变量, 其中 $\mathcal{F} = \mathbb{F}(x_1, \dots, x_m)$ 为基域(有理多项式域);
- $\tilde{B} = (b_{ij})_{m \times n}$, 其中限制在前 n 列上的方阵 B 反对称;

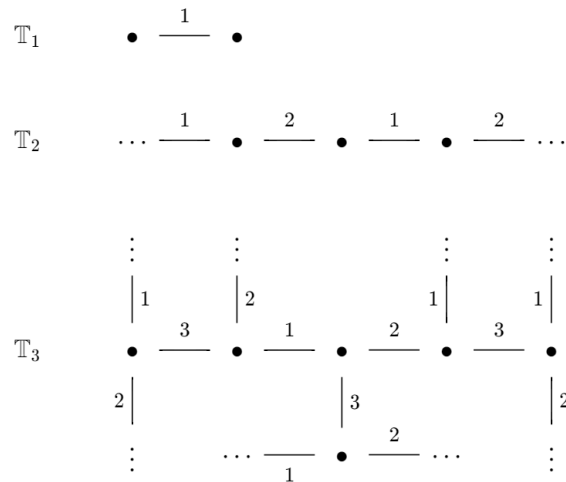
称 \tilde{x} 为广义丛, $x = (x_1, \dots, x_n)$ 为丛. 注意到有对应

$$\{\textcolor{red}{x}_1, \dots, \textcolor{red}{x}_n, \textcolor{blue}{x}_{n+1}, \dots, \textcolor{blue}{x}_m\} \iff \{\text{可迁点}, \text{固定点}\}.$$

Definition 4.2 定义对易关系(规定空的乘积为 1)

$$x'_k x_k = \prod_{b_{ik} > 0} x_i^{b_{ik}} + \prod_{b_{ik} < 0} x_i^{-b_{ik}}.$$

Definition 4.3 Quiver 上运动 $\{\mu_k\}_{1 \leq k \leq n}$ 生成的自由群在商去对合关系 $\mu_k^2 = \text{Id}$ 下生成数 \mathbb{T}_n , 如



[链接](#)



Remark 如 $(\mu_1\mu_2)^{10} : [x_1 \rightarrow x_2] \mapsto [x_1 \rightarrow x_2]$, 对应群 $\langle a, b \mid a^2 = b^2 = (ab)^{10} = 1 \rangle$.

Definition 4.4 定义

- 丛变量集 \mathcal{X} 为 $\{\mathbf{x}_i\}_{1 \leq i \leq n}$ 在经 \mathbb{T}_n 每条边(交换关系)生成的 Laurant 多项式族;
- $R = \mathbb{F}[\mathbf{x}_{n+1}, \dots, \mathbf{x}_m]$ 为固定点生成的基环;
- R 上丛代数为 $\mathcal{A} := R[\mathcal{X}]$;
- 基域 $\mathcal{F} = \mathbb{F}(x_1, \dots, x_n)$.

Example 4.5 回顾判断旗恒正矩阵一段所考虑的空间 $\mathfrak{sl}_3(\mathbb{C}) / \left\{ \begin{pmatrix} 1 & & \\ * & 1 & \\ * & * & 1 \end{pmatrix} \right\}$, 则

- 固定点为 p_1, p_3, p_{12} 与 p_{23} ;
- 可迁点为 p_2 与 p_{13} ;
- 对易关系 $p_2p_{13} = p_1p_{23} + p_3p_{12}$.

从而丛变量集 $\mathcal{X} = \{p_2, p_{13}\}$ (其余为常量) $R = \mathbb{F}[p_1, p_3, p_{12}, p_{13}]$, $\mathcal{F} = \mathbb{F}(p_1, p_2, p_3, p_{12}, p_{13})$.

Example 4.6 \mathbb{T}_1 给出的丛代数中, $\mathcal{X} := \{x_1, x'_1\}$, 起始矩阵 $\tilde{B}_0 = (0, *, \dots, *)_{m \times 1}$, 从而对易关系为 $x_1x'_1 = M_1 + M_2$ 形式, 其中 M_1 与 M_2 为互素的单项式. 例如 **Example 4.5**.

Example 4.7 \mathbb{T}_2 给出的丛代数稍许复杂, 暂时考虑所有顶点可迁的情形可反对称化矩阵 $\pm \begin{pmatrix} 0 & b \\ -c & 0 \end{pmatrix}$. 其中, $b = c = 0$ 表明 μ_1 与 μ_2 可交换, 故以下考虑 b 与 c 同为正数之情形即可.



Remark 以下丛变量的生成由均矩阵变换给出. 先前已证明一切可反对称化矩阵上的变换与对称化 S 可交换, 对非反对称之情形暂不考虑 quiver.

此时, 丛无非 $(x_1, x_2), (x'_1, x_2), (x_1, x'_2)$ 与 (x'_1, x'_2) , 丛变量无非 $\{x_1, x_2, x'_1, x'_2\}$, 对易关系

$$x_1 x'_1 = M_1 + M_2, \quad x_2 x'_2 = M_3 + M_4; \quad M_i \text{ 均为 } x_{n+t} \text{ 生成的首一单项式.}$$

待定 \mathcal{X} 中元素为 z_k 等, 即如下图所示

$$\begin{array}{cccc} (z_1 \ z_0) & (z_1 \ z_2) & (z_3 \ z_2) & (z_3 \ z_4) \\ \mathbb{T}_2 & \dots \xrightarrow{1} \begin{pmatrix} 0 & -b \\ c & 0 \end{pmatrix} \xrightarrow{2} \begin{pmatrix} 0 & b \\ -c & 0 \end{pmatrix} \xrightarrow{1} \begin{pmatrix} 0 & -b \\ c & 0 \end{pmatrix} \xrightarrow{2} \begin{pmatrix} 0 & b \\ -c & 0 \end{pmatrix} \xrightarrow{1} \dots \end{array}$$

[链接](#)

从而 k 为偶数时有 $z_{k-1} z_{k+1} = z_k^c + 1$, k 为奇数时有 $z_{k-1} z_{k+1} = z_k^b + 1$.

Example 4.8 特别地, 在以上例子中令 $b = c = 1$, 则有周期现象 $z_{5+s} = z_s$. 今增加一固定点, 则

$$\begin{array}{cccccc} \begin{pmatrix} 0 & 1 \\ -1 & 0 \\ p & q \end{pmatrix} & \xrightarrow{1} & \begin{pmatrix} 0 & -1 \\ 1 & 0 \\ -p & p+q \end{pmatrix} & \xrightarrow{2} & \begin{pmatrix} 0 & 1 \\ -1 & 0 \\ q & -p-q \end{pmatrix} & \xrightarrow{1} & \begin{pmatrix} 0 & -1 \\ 1 & 0 \\ -q & -p \end{pmatrix} & \xrightarrow{2} & \begin{pmatrix} 0 & 1 \\ -1 & 0 \\ -q & p \end{pmatrix} & \xrightarrow{1} & \begin{pmatrix} 0 & -1 \\ 1 & 0 \\ q & p \end{pmatrix} \\ (z_1 \ z_2) & & (z_3 \ z_2) & & (z_3 \ z_4) & & (z_5 \ z_4) & & (z_5 \ z_6) & & (z_7 \ z_6) \end{array}$$

[链接](#)

计算得 $z_3 = \frac{z_2 + y^p}{z_1}$, $z_4 = \frac{z_2 + y^{p+q} z_1 + y^p}{z_1 z_2}$, $z_5 = \frac{y^q + 1}{z_2}$, $z_6 = z_1$, $z_7 = z_2$. 周期性不变.



Remark 记 Example 4.7 中代数为 $\mathcal{A}(b, c)$, 则 $\mathcal{A}(1, 1)$ 5-周期, $\mathcal{A}(1, 2)$ 6-周期; 然而 $\mathcal{A}(1, 4)$ 不再存在周期现象, 但每项均为正整数, i.e.,

$$1, 1, 2, 3, 14, 41, 937, 67, 21506, 321, 493697, 1538, \dots$$

Theorem 4.9 (Laurant 现象) 丛代数中丛变量集 \mathcal{X} 由整系数 Laurant 多项式组成; 广义丛 Laurant 多项式的分母均不含 $\{x_i\}_{n+1 \leq i \leq m}$.

Example 4.10 证明 $F_5 = 2^{32} + 1$ 非素数. 考虑 A_3 型丛结构

$$\tilde{x} = (\textcolor{red}{x}_1, \textcolor{red}{x}_2; \textcolor{blue}{x}_3) \quad \tilde{B} \begin{pmatrix} 0 & 4 \\ -1 & 0 \\ 1 & -3 \end{pmatrix}.$$

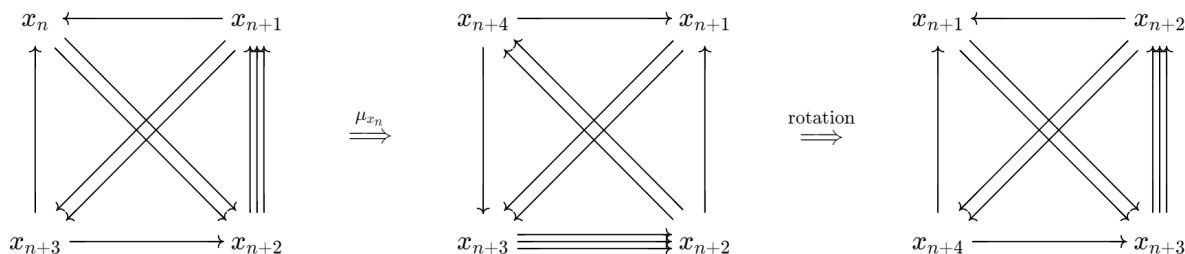
取 $(x_1, x_2, x_3) = (3, -1, 16)$, 则 $x'_1 = \frac{x_2 + x_3}{x_1} = 5$. 根据 Laurant 现象, 数组在 $\{\mu_1, \mu_2\}$ 不断作用下的结果一定是 $\frac{\mathbb{Z}}{3^q \cdot 5^q}$ 的形式. 注意到

$$\begin{array}{ccccccccc} (x_1 & x_2) & \left(\frac{x_3+x_2}{x_1} & x_2\right) & \left(\frac{x_3+x_2}{x_1} & \frac{x_3+\left(\frac{x_3+x_2}{x_1}\right)^4}{x_2}\right) & \left(\frac{x_1\left(1+\frac{x_3+\left(\frac{x_3+x_2}{x_1}\right)^4}{x_2}\right)}{x_3+x_2} & \frac{x_3+\left(\frac{x_3+x_2}{x_1}\right)^4}{x_2}\right) & \left(\frac{x_1\left(1+\frac{x_3+\left(\frac{x_3+x_2}{x_1}\right)^4}{x_2}\right)}{x_3+x_2} & \frac{x_2(1+x_3(-128)^4)}{x_3+\left(\frac{x_3+x_2}{x_1}\right)^4}\right) \\ (3 & -1) & (5 & -1) & (5 & -641) & (-128, -641) & & & (-128, F_5/(-641)) \\ \begin{pmatrix} 0 & 4 \\ -1 & 0 \\ 1 & -3 \end{pmatrix} & \xrightarrow{1} & \begin{pmatrix} 0 & -4 \\ 1 & 0 \\ -1 & 1 \end{pmatrix} & \xrightarrow{2} & \begin{pmatrix} 0 & 4 \\ -1 & 0 \\ 0 & -1 \end{pmatrix} & \xrightarrow{1} & \begin{pmatrix} 0 & -4 \\ 1 & 0 \\ 0 & -1 \end{pmatrix} & \xrightarrow{2} & \begin{pmatrix} 0 & 4 \\ -1 & 0 \\ 0 & 1 \end{pmatrix} \end{array}$$

[链接](#)

结合 $3 \nmid 641$ 与 $5 \nmid 641$, 从而 F_5 有约数 641.

Example 4.11 $\{x_{n+4} = x_n^{-1}(x_1x_3 + x_2^2), x_0 = x_1 = x_2 = x_3 = 1\}$ 的各项为正整数. 该序列即 Simon-4 序列. 实际上, 注意到以下变换即可.



[链接](#)

Example 4.12 对关系 $x_0x_5 = x_1x_4 + x_2x_3$ 及初值 $x_{0,1,2,3,4} = 1$, 则

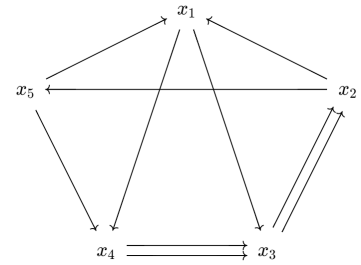
$$\tilde{B} = B = \begin{pmatrix} 0 & -1 & 1 & 1 & -1 \\ 1 & 0 & p_{12} & p_{13} & p_{14} \\ -1 & -p_{12} & 0 & p_{23} & p_{24} \\ -1 & -p_{13} & -p_{23} & 0 & p_{34} \\ 1 & -p_{14} & -p_{24} & -p_{34} & 0 \end{pmatrix}$$

我们希望矩阵在 μ_1 作用下等同于作用一个行列置换, 不妨考虑方程

$$\begin{aligned}
& \begin{pmatrix} 0 & 1 & -1 & -1 & 1 \\ -1 & 0 & p_{12}+1 & p_{13}+1 & p_{14} \\ 1 & -p_{12}-1 & 0 & p_{23} & p_{24}-1 \\ 1 & -p_{13}-1 & -p_{23} & 0 & p_{34}-1 \\ -1 & -p_{14} & -p_{24}+1 & -p_{34}+1 & 0 \end{pmatrix} \\
&= \begin{pmatrix} 0 & 1 & -p_{14} & -p_{24} & -p_{34} \\ -1 & 0 & -1 & 1 & 1 \\ p_{14} & 1 & 0 & p_{12} & p_{13} \\ p_{24} & -1 & -p_{12} & 0 & p_{23} \\ p_{34} & -1 & -p_{13} & -p_{23} & 0 \end{pmatrix}
\end{aligned}$$

解以及对应的 quiver 如右图所示.

$$B = \begin{pmatrix} 0 & -1 & 1 & 1 & -1 \\ 1 & 0 & -2 & 0 & 1 \\ -1 & 2 & 0 & -2 & 1 \\ -1 & 0 & 2 & 0 & -1 \\ 1 & -1 & -1 & 1 & 0 \end{pmatrix}$$



同样地, Laurant 现象保证序列各项为整数.

[链接](#)

Definition 4.13 (y 换元) 考虑

$$\hat{y} = (\hat{y}_i)_{1 \leq i \leq n}, \quad \hat{y}_j = \prod_{i=1}^m x_i^{b_{ij}}.$$

不难计算 μ_k 带来如下形式的变换

$$\hat{y}'_j = \begin{cases} \hat{y}_k^{-1} & j = k, \\ \hat{y}_j (\hat{y}_k + 1)^{-b_{kj}} & j \neq k, b_{kj} \leq 0, \\ \hat{y}_j (\hat{y}_k^{-1} + 1)^{-b_{kj}} & j \neq k, b_{kj} \geq 0. \end{cases}$$

Definition 4.14 定义 \mathcal{F} 中的 n 阶 Y -种子为配对 (Y, B) , 其中

- Y 为 \mathcal{F} 的 n 元组;
- B 为 $n \times n$ 大小的可反对角化矩阵.

定义 $\mu : (Y, B) \mapsto (Y', B')$, 其中 $B \mapsto B'$ 为前文所言的矩阵变换, 而

$$Y'_j = \begin{cases} Y_k^{-1} & j = k, \\ Y_j(Y_k + 1)^{-b_{kj}} & j \neq k, b_{kj} \leq 0, \\ Y_j(Y_k^{-1} + 1)^{-b_{kj}} & j \neq k, b_{kj} \geq 0. \end{cases}$$

Example 4.15 考虑 2 阶 Y -种子间的转化(对照 \mathbb{T}_2)如下

$$\cdots \xrightarrow{2} (Y(0), B(0)) \xrightarrow{1} (Y(1), B(1)) \xrightarrow{2} (Y(2), B(2)) \xrightarrow{1} \cdots$$

若限定 $B(t) = (-1)^t \begin{pmatrix} 0 & 1 \\ -1 & 0 \end{pmatrix}$, 则可得以下关系

$$\begin{aligned} t \text{ 为偶数: } & Y(t+1) = \mu_1(Y(t)), \quad Y_1(t+1) = \frac{1}{Y_1(t)}, \quad Y_2(t+1) = \frac{Y_2(t)}{1 + Y_1(t)^{-1}}; \\ t \text{ 为奇数: } & Y(t+1) = \mu_2(Y(t)), \quad Y_2(t+1) = \frac{1}{Y_2(t)}, \quad Y_1(t+1) = \frac{Y_1(t)}{1 + Y_2(t)^{-1}}. \end{aligned}$$

从而 Y 有如下 10 周期结构(半周期处为对换)

$t :$	0	1	2	3	4	5	6	\cdots
$Y_1(t) :$	y_1	y_1^{-1}	$\frac{y_2}{1 + y_1 + y_1 y_2}$	$\frac{1 + y_1 + y_1 y_2}{y_2}$	y_2^{-1}	y_2	$\frac{y_1 y_2}{1 + y_1}$	\cdots
$Y_2(t) :$	y_2	$\frac{y_1 y_2}{1 + y_1}$	$\frac{1 + y_1}{y_1 y_2}$	$\frac{1}{y_1(y_2 + 1)}$	$y_1(y_2 + 1)$	y_1	y_1^{-1}	\cdots



Remark 结合 **Example 4.8** 与 **Example 4.15** 展示的周期现象, 以及 Simon 序列与 $\mathcal{A}(1, 4)$ 的非周期现象, 我们很自然地想到为有限型的 (Y, B) 进行分类. 这似乎与 Dynkin graph 有关(丛代数本身即作为一种研究 Lie 理论的工具而被提出(Zelevinsky, 2000 年)).